



ОТРАЖЕНИЕ ИЗГИБНОЙ ВОЛНЫ ОТ ТОЧЕЧНОЙ МАССЫ, ПРИКРЕПЛЕННОЙ К СТЕРЖНЮ

Хакимов А. Г.

Институт механики УНЦ РАН, Уфа

Аннотация. Исследуется отражение от точечной массы и прохождение изгибной бегущей волны в стержне. Получена зависимость решения от координаты груза и его величины. Решение обратной задачи позволяет определить координату точечной массы и ее величину по данным отраженной и проходящих волн в точках наблюдения.

1. Введение

В протяженных объектах типа магистральных трубопроводных систем не все участки могут быть доступны для визуального осмотра и приборного диагностирования [1]. В связи с этим сочетание приборного диагностирования в доступном месте (точке наблюдения) и моделирования отраженных волн от удаленного повреждения протяженных объектов представляет определенный интерес. В [2] рассматривается отражение продольной бегущей волны в стержне с повреждением без учета затухания волн.

2. Постановка задачи

Предполагается, что из удаленной точки стержня круглого поперечного сечения радиусом R слева направо распространяется изгибная волна смещения, амплитуда и частота которой в точке наблюдения O с координатой $x = 0$ равны W и ω . Принято, что затухающая часть волны равна нулю. В точке с координатами

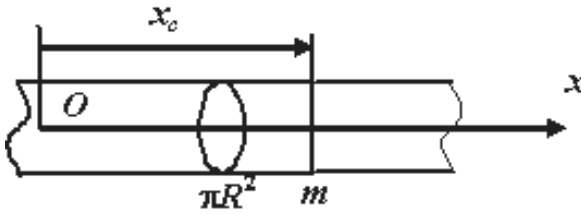


Рис. 1. Расчетная схема

той x_c прикреплен груз массой m (рис. 1). Требуется определить отраженную и проходящую волны по известной массе груза и ее координате, а также расположение груза и его массу по отраженной волне в точке наблюдения.

Уравнение изгибных колебаний балки имеет вид

$$EJ \frac{\partial^4 w}{\partial x^4} + \rho F \frac{\partial^2 w}{\partial t^2} = 0, \quad (1)$$

где E , ρ , J , F — модуль упругости, плотность, момент инерции и площадь поперечного сечения балки; w — прогиб балки; t — время.

Общее решение уравнения (1) имеет вид:

$$w = e^{i\omega t} (Ae^{\alpha x} + Be^{-\alpha x} + Ce^{i\alpha x} + De^{-i\alpha x}),$$

$$\alpha^2 = \omega \sqrt{\frac{\rho F}{EJ}}, \quad \alpha = \frac{2\pi}{L},$$

где A , B , C , D — постоянные интегрирования; i — мнимая единица; α , ω — волновое число и круговая частота; L — длина волны. Ограниченное решение, удовлетворяющее условию отсутствия отраженных волн ($A = C = 0$), записывается

$$w = Be^{-\alpha x + i\omega t} + De^{i(\omega t - \alpha x)}, \quad (2)$$

где первое слагаемое описывает затухающие по координате x колебания, а второе — бегущую волну. В падающей волне затухающие колебания отсутствуют.

Обозначая функции при $x = x_c$ слева и справа индексами «-» и «+», записываются условия стыкования решений (условия равенства перемещений, углов поворота θ , изгибающих моментов, перерезывающих сил):

$$w_+ = w_-, \quad \theta_+ = \theta_-, \quad M_+ = M_-, \quad Q_+ = Q_- - m \frac{\partial^2 w_-}{\partial t^2}, \quad (3)$$

где m — точечная масса; M, Q — изгибающий момент и перерезывающая сила, которые определяются по формулам:

$$M = EJ \frac{\partial^2 w}{\partial r^2}, \quad Q = -EJ \frac{\partial^3 w}{\partial r^3}. \quad (4)$$

Условия (3) с учетом (4) записываются в виде:

$$\begin{aligned} w_+ &= w_-, & \frac{\partial w_+}{\partial x} &= \frac{\partial w_-}{\partial x}, \\ \frac{\partial^2 w_+}{\partial x^2} &= \frac{\partial^2 w_-}{\partial x^2}, & \frac{\partial^3 w_+}{\partial x^3} &= \frac{\partial^3 w_-}{\partial x^3} + \frac{m\omega^2}{EJ} w_-. \end{aligned} \quad (5)$$

Предполагается, что затухающие колебания отсутствуют в начале координат. Поэтому поперечное перемещение в стержне задается в виде незатухающей бегущей изгибающей волны

$$w = W \sin(\omega t - \alpha x). \quad (6)$$

3. Прямая задача

Пользуясь в дальнейшем обозначениями:

$$\tau = \omega t, \quad \xi = \frac{2\pi x}{L}, \quad \xi_c = \frac{2\pi x_c}{L}, \quad \beta = \frac{m\omega^2 L^3}{8\pi^3 EJ}, \quad w = \frac{w}{W},$$

представим (5) в виде:

$$\begin{aligned} w_+ &= w_-, & \frac{\partial w_+}{\partial \xi} &= \frac{\partial w_-}{\partial \xi}, \\ \frac{\partial^2 w_+}{\partial \xi^2} &= \frac{\partial^2 w_-}{\partial \xi^2}, & \frac{\partial^3 w_+}{\partial \xi^3} &= \frac{\partial^3 w_-}{\partial \xi^3} + \beta w_-. \end{aligned} \quad (7)$$

Таким образом, в приведенной простейшей модели присоединенного груза фигурируют его координата ξ_c и параметр β . Для стержня круглого сечения величина

$$\beta = \frac{m\omega^2 L^3}{2\pi^3 ER^4}.$$

Представим (6) в виде:

$$w_i = \sin(\tau - \xi), \quad -\infty \leq \xi \leq \xi_c. \quad (8)$$

Решение (2) имеет вид:

$$w_r = A_r \cos(\tau + \xi) + B_r \sin(\tau + \xi) + e^{-(\xi_c - \xi)}(C_r \cos \tau + D_r \sin \tau), \quad -\infty \leq \xi \leq \xi_c, \quad (9)$$

$$w_{i1} = A_{i1} \cos(\tau - \xi) + B_{i1} \sin(\tau - \xi) + e^{-(\xi - \xi_c)}(C_{i1} \cos \tau + D_{i1} \sin \tau), \quad \xi_c < \xi \leq \infty. \quad (10)$$

Так как при $\xi \leq \xi_c$ выполняются равенства $w_1 = w_i + w_r$, а при $\xi > \xi_c$ — равенства $w_2 = w_{i1}$, из условий (6) с учетом соотношений (8)–(10) следует система уравнений, решение которой записывается:

$$\begin{aligned} A_{i1}\eta &= -\beta(\beta + 4), & B_{i1}\eta &= -(\beta + 4)^2, \\ C_{i1}\eta &= \beta(4 \sin \xi_c + \beta \cos \xi_c + \beta \sin \xi_c), \\ D_{i1}\eta &= \beta(-4 \cos \xi_c - \beta \cos \xi_c + \beta \sin \xi_c), \\ A_r\eta &= \beta(-4 \cos 2\xi_c - \beta \cos 2\xi_c + \beta \sin 2\xi_c), \\ B_r\eta &= \beta(-\beta \cos 2\xi_c - 4 \sin 2\xi_c - \beta \sin 2\xi_c), \\ C_r &= C_{i1}, & D_r &= D_{i1}, & \eta &= 2(\beta^2 + 4\beta + 8). \end{aligned} \quad (11)$$

При $\beta = 0$ выражения (11) упрощаются. Волна, не отражаясь, проходит далее. Решения (9), (10) можно представить также в виде:

$$\begin{aligned}
 w_r &= k_r \sin((\tau + \xi) - \phi_r) + k_{r1} e^{-(\xi_c - \xi)} \sin(\tau - \phi_{r1}), \\
 &\quad -\infty \leq \xi \leq \xi_c, \\
 w_{i1} &= k_{i1} \sin((\tau - \xi) - \phi_{i1}) + k_{i2} e^{-(\xi - \xi_c)} \sin(\tau - \phi_{i2}), \\
 &\quad \xi_c < \xi \leq \infty,
 \end{aligned} \tag{12}$$

где k_r , k_{r1} и k_{i1} , k_{i2} — коэффициенты отражения и прохождения;
 ϕ_r , ϕ_{r1} и ϕ_{i1} , ϕ_{i2} — соответствующие фазы:

$$\begin{aligned}
 k_r &= \sqrt{A_r^2 + B_r^2}, & k_{r1} &= \sqrt{C_r^2 + D_r^2}, \\
 k_{i1} &= \sqrt{A_{i1}^2 + B_{i1}^2}, & k_{i2} &= \sqrt{C_{i1}^2 + D_{i1}^2}, \\
 \phi_r &= \arctan(-A_r/B_r), & \phi_{r1} &= \arctan(-C_r/D_r), \\
 \phi_{i1} &= \arctan(-A_{i1}/B_{i1}), & \phi_{i2} &= \arctan(-C_{i1}/D_{i1}).
 \end{aligned} \tag{13}$$

Перемещение w_r элемента стержня в точке наблюдения ($\xi = 0$), выраженное через амплитуду C^* и фазу δ^* волны, имеет вид:

$$\begin{aligned}
 w_r &= A_r \cos \tau + B_r \sin \tau + e^{-\xi_c} (C_r \cos \tau + D_r \sin \tau) = \\
 &= C \sin(\tau - \delta), \quad C = \sqrt{C_1^2 + C_2^2}, \quad \tan \delta = -C_1/C_2,
 \end{aligned} \tag{14}$$

где обозначено

$$C_1 = A_r + C_r e^{-\xi_c}, \quad C_2 = B_r + D_r e^{-\xi_c}. \tag{15}$$

Суммарное перемещение w_s элемента стержня в точке наблюдения ($\xi = 0$), выраженное через амплитуду C и фазу δ волны:

$$\begin{aligned}
 w_s &= w_i + w_r = \sin \tau + A_r \cos \tau + B_r \sin \tau + \\
 &+ e^{-\xi_c} (C_r \cos \tau + D_r \sin \tau) = C^* \sin(\tau - \delta^*), \\
 C^* &= \sqrt{C_1^2 + C_2^{*2}}, \quad \tan \delta = -C_1/C_2^*,
 \end{aligned} \tag{16}$$

где

$$C_2^* = 1 + B_r + D_r e^{-\xi_c}.$$

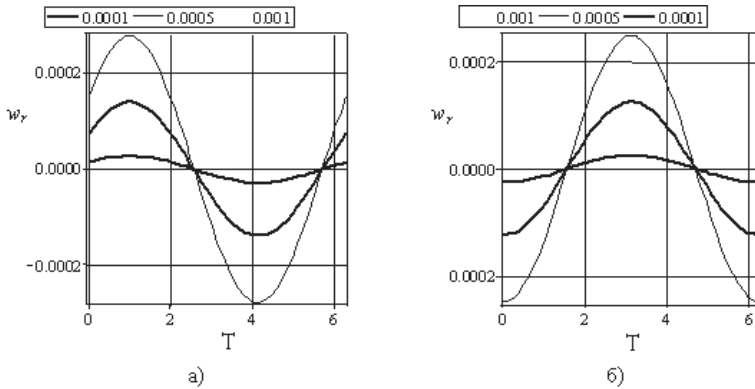


Рис. 2. Перемещения стержня в отраженной волне для положений груза $\xi_c = 2\pi/3$ (а), $\xi_c = 2\pi$ (б) при различных β

На рис. 2 даются зависимости перемещения элемента стержня в отраженной волне от безразмерного времени τ для двух значений положения груза: $\xi_c = 2\pi/3$ (фрагмент а), $\xi_c = 2\pi$ (фрагмент б), $\xi = 0$ и различных β , вычисленных по формуле (9). Видно, что отраженные волны зависят от параметра β и координаты груза ξ_c . Чем больше масса груза β , тем больше величина сигнала в отраженной волне.

Зависимости сдвига фазы в отраженной волне от положения груза ξ_c и различных значений параметра β представлены на рис. 3(а), а от параметра β и различных значений ξ_c даются на рис. 3(б). Анализ показывает, что сдвиг фазы в отраженной волне зависит от положения груза ξ_c , параметра β . Таким образом, сдвиг фазы в отраженной волне можно использовать для определения координаты присоединенной массы и величины массы.

Рис. 4 содержит зависимости коэффициента отражения C от параметра β при различных ξ_c (фрагмент а) и от координаты ξ_c для различных β (фрагмент б). С ростом параметра β происходит увеличение коэффициента отражения C .

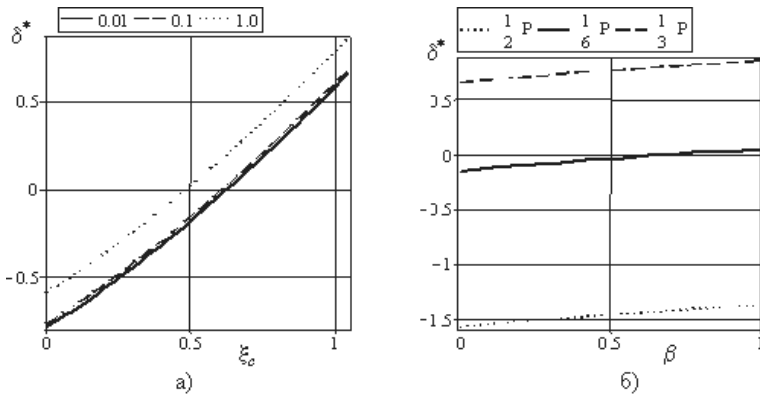


Рис. 3. Зависимости сдвига фазы в отраженной волне от положения груза ξ_c (а) при значениях параметра β и от параметра β (б) при различных значениях ξ_c

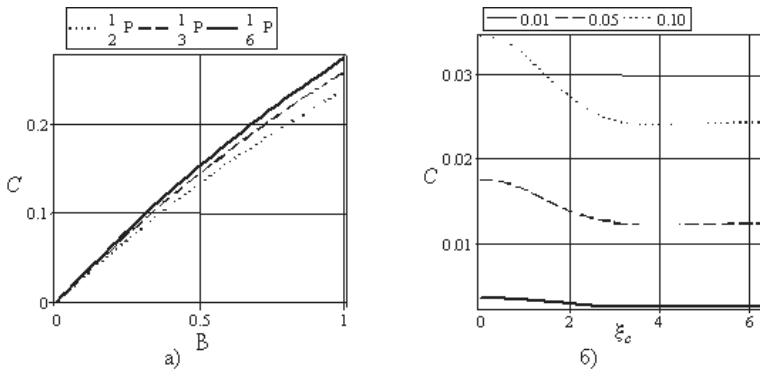


Рис. 4. Зависимости коэффициента отражения C от параметра β при различных значениях ξ_c (а) и от координаты ξ_c при различных значениях β (б)

4. Обратная задача

Могут быть использованы различные способы [3] определения координаты груза и его массы в зависимости от измеряемых характеристик волны с помощью приборных средств. Рассмотрим только один способ: выделение отраженной волны и использование данных измерений перемещений в два момента времени. Выделение отраженных волн может быть достигнуто, например, сравнением данных замеров в точке $\xi = 0$ стержня с грузом и в таком же стержне без груза. Могут быть и другие способы выделения отраженных волн. Если обозначить через $(w_r)_1$ и $(w_r)_2$ замеренные значения перемещения в отраженной волне в точке $\xi = 0$ в моменты времени τ_1 и τ_2 в пределах полупериода колебания, причем для простоты принять $\tau_1 = 0$, $\tau_2 = \pi/2$, то из (9) последует система уравнений:

$$(w_r)_1 = A_r + C_r e^{-\xi_c}, \quad (w_r)_2 = B_r + D_r e^{-\xi_c}. \quad (17)$$

Например, решение прямой задачи для $\xi_c = 2\pi/5$, $\beta = 0,001$ дает, что $(w_r)_1 = 0.0002698989202$, $(w_r)_2 = -0.0001688239284$.

Параметры ξ_c , β определяются из (17) при заданных значениях $(w_r)_1$, $(w_r)_2$. Система (17) может быть решена численно. Например, для $(w_r)_1 = 0.0002$, $(w_r)_2 = -0.0001$ решение системы уравнений дает, что $\xi_c = 1.311509405$; $\beta = 0.0007086956474$.

На рис. 5 приводятся зависимости координаты груза ξ_c и его массы β от $(w_r)_1$ для различных значений $(w_r)_2$. Вычисления показывают, что по двум замеренным значениям $(w_r)_1$, $(w_r)_2$ определяются координата груза и его масса.

Возможно использование и других измерений параметров падающей, отраженной от груза и проходящей волн.

Анализ отраженных волн в стержне позволяет сделать вывод о том, что амплитуда и сдвиг фазы зависят от координаты груза ξ_c и его массы β . Таким образом, сдвиг фазы в отраженной волне можно использовать для определения координаты груза ξ_c и его массы β .

Полученная методика может использоваться при разработке системы диагностирования длинных стержневых систем.

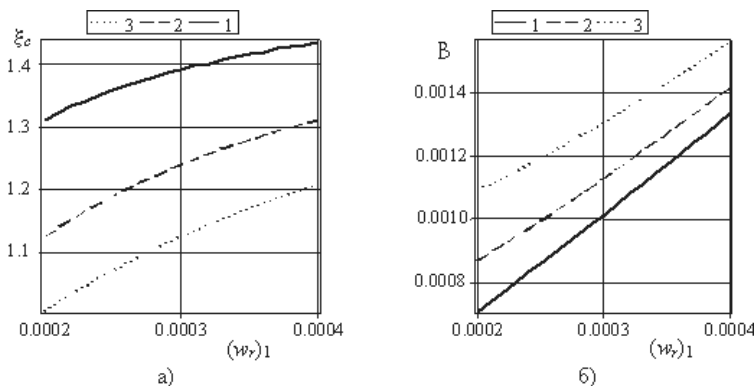


Рис. 5. Зависимости координаты груза ξ_c (а), параметра β (б) от $(w_r)_1$ для различных значений $(w_r)_2$: -0.0001 (кривая 1); -0.0002 (2); -0.0003 (3)

Список литературы

- [1] Сидоров Б. В., Мартынов С. А. Рекомендуемая технология диагностики подземных трубопроводов // Контроль. Диагностика. 2005. № 12. С. 18–19.
- [2] Ильгамов М. А., Хакимов А. Г. Отражение продольной бегущей волны в стержне с повреждением // Контроль. Диагностика. 2009. № 7. С. 43–48.
- [3] Ильгамов М. А., Хакимов А. Г. Отражение продольной волны от надреза в стержне, погруженном в вязкую жидкость // Вычислительная механика сплошных сред. 2010. Т. 3, № 3. С. 58–67.